

اثر نیروهای محوری و برشی در اجزاء یک ساختمان

نوشته :

علی اصغر حائری

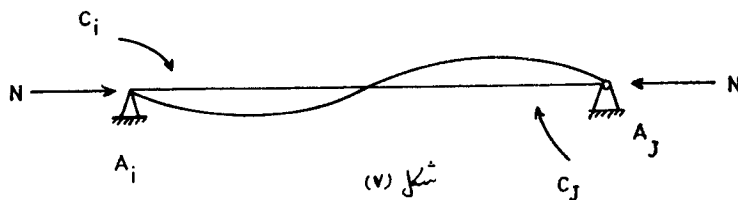
دکتر مهندس درمکانیک جامدات ، استادیار پلی تکنیک تهران

چکیده : در مقاله قبلی ، که در نشریه اسفند ماه ۱۳۵۱ دانشکده فنی بیچاپ رسیده است . معادلات انترنسک (ذاتی) را با در نظر گرفتن اثر نیروهای محوری و برشی نشان دادیم ، در این مقاله اثر نیروهای مذکور را بر روی تغییر طول و نیروی محوری اجزاء یک ساختمان بررسی نموده ، همچنین اثر آنها بر روی بار بحرانی اولر اجزاء یک ساختمان ، حد مورد قبول قضیه تقابل ماکسول و ترتیب بارگزاری مورد مطالعه قرار میگیرد .

* ۵ - مقطع ظاهری یک میله مستقیم با مقطع ثابت

میله $A_i A_j$ با مقطع حقیقی S از یک ساختمان را در نظر میگیریم ، این میله تحت تأثیر نیروی فشاری N ، و لنگرهای C_i و C_j وارد بردوانتهای آن قرار گرفته است . تغییر طول این میله Δl و برابر است با :

$$\Delta l = \Delta l_n + \Delta l_f \quad (۱-۳۴)*$$



Δl_n : عبارت از تغییر طول حاصل از نیروی محوری N بوده و مقدار آن برابر است با :

$$\Delta l_n = \frac{Nl}{ES}$$

* ترتیب شماره گزاری تیتر مطالب و فرمولها در دنباله مقاله چاپ شده در نشریه شماره ۲۵ صورت گرفته است .

Δl_f عبارت از تغییر طول حاصل از خمش میله $A_i A_j$ ، و مقدار آن برابر است با :

$$\Delta l_f = \frac{1}{r} \int_0^l \left(\frac{dy}{dx} \right)^2 dx$$

حال دو حالت زیر را با صرف نظر کردن از اثر نیروی برشی مورد بررسی قرار می‌دهیم .

۱- ۵ : نیروی محوری N فشاری است

معادله دیفرانسیل منحنی تغییر شکل ارتجاعی میله $A_i A_j$ در فرمول (۱-۱) داده شده است .

پس از حل این معادله دیفرانسیل چنین بدست می‌آید :

$$y = a \sin \omega x + b \cos \omega x - \frac{1}{N} \left[C_i \left(1 - \frac{x}{l} \right) - C_j \frac{x}{l} \right] \quad (1-36)$$

و از آنجا :

$$\frac{dy}{dx} = a \omega \cos \omega x - b \omega \sin \omega x + \frac{1}{Nl} (C_i + C_j) \quad (1-37)$$

و مقادیر a و b از شرایط حدی زیر تعیین می‌گردند .

$$y(0) = y(l) = 0$$

و از آنجا :

$$a = -\frac{1}{N} \left(\frac{C_i \cos \omega l}{\sin \omega l} + \frac{C_j}{\sin \omega l} \right) \quad \text{و} \quad b = \frac{C_i}{N}$$

بنابراین معادله (۱-۳۷) بصورت زیر نوشته میشود .

$$\frac{dy}{dx} = \frac{C_i}{Nl \sin \omega l} (\sin \omega l - \omega l \cos \omega l \cos \omega x - \omega l \sin \omega l \sin \omega x) + \frac{C_j}{Nl \sin \omega l} (\sin \omega l - \omega l \cos \omega x) \quad (1-38)$$

پس از قراردادن این مقدار $\frac{dy}{dx}$ ، در معادله (۱-۳۵) و حل انتگرال فوق ، Δl_f محاسبه می‌گردد یعنی :

$$\Delta l_f = \frac{C_j^2}{N^2 l} \left\{ \frac{1}{4} \left(\frac{C_i}{C_j} \right)^2 \left[\left(\frac{\omega l}{\sin \omega l} \right)^2 - 2 + \frac{\omega l}{\tan \omega l} \right] + \frac{1}{4} \left[\left(\frac{\omega l}{\sin \omega l} \right)^2 - 2 + \frac{\omega l}{\tan \omega l} \right] \right. \\ \left. + \frac{1}{2} \frac{C_i}{C_j} \left[\frac{\omega l}{\tan \omega l} \cdot \frac{\omega l}{\sin \omega l} - 2 + \frac{\omega l}{\sin \omega l} \right] \right\} \quad (1-39)$$

با انتخاب اینکه :

$$\left. \begin{aligned} \frac{1}{\epsilon} \left[\left(\frac{\omega l}{\sin \omega l} \right)^2 - \nu + \frac{\omega l}{\tan \omega l} \right] &= P_C \\ \frac{1}{\nu} \left[\frac{\omega l}{\sin \omega l} \cdot \frac{\omega l}{\tan \omega l} - \nu + \frac{\omega l}{\sin \omega l} \right] &= Q_C \end{aligned} \right\} \quad (1-40)$$

چنین بدست می آید :

$$\frac{\Delta I_f}{I} = \frac{C_j^r}{k^r n^r} \left[\left(\frac{C_i}{C_j} \right)^2 P_C + P_C + \frac{C_i}{C_j} Q_C \right] \quad (1-41)$$

که در آن $k = \frac{EI}{I}$ میباشد .

با قرار دادن :

$$\frac{1}{n^r} \left[\left(\frac{C_i}{C_j} \right)^2 P_C + P_C + \frac{C_i}{C_j} Q_C \right] = R_C \quad (1-42)$$

رابطه (1-41) بصورت زیر خلاصه میشود :

$$\frac{\Delta I_f}{I} = \frac{C_j^r}{k^r} R_C \quad (1-43)$$

تغییرات R_C برحسب ωl برای مقادیر : $0 < \frac{C_i}{C_j} < 1$ در دیاگرام (1-1) داده شده است .
 نظر باینکه در محاسبات ساختمانیها با استفاده از روش تغییر شکل یا معادلات ذاتی ، محاسبه دوران گره ها ، یعنی θ_i و θ_j قبل از تعیین لنگرها صورت میگیرند ، بنابراین ، نسبت $\frac{\Delta I_f}{I}$ برحسب دوران گره ها بصورت زیر تعیین میگردد . معادلات ذاتی برای سیله $A_i A_j$ در روابط (1-8) و (1-9) نشان داده شده است . با ترکیب این دو رابطه با رابطه (1-41) چنین حاصل میشود :

$$\frac{\Delta I_f}{I} = \theta_j^r \cdot R'_C \quad (1-44)$$

که در آن :

$$\begin{aligned} R'_C = \frac{1}{n^r} \left[\left\{ (\alpha^r + \beta^r) \left[1 + \left(\frac{\theta_i}{\theta_j} \right)^2 \right] + \epsilon \alpha \beta \left(\frac{\theta_i}{\theta_j} \right) P_C \right\} + \right. \\ \left. + \left\{ (\alpha^r + \beta^r) \frac{\theta_i}{\theta_j} + \alpha \beta \left[1 + \left(\frac{\theta_i}{\theta_j} \right)^2 \right] \right\} Q_C \right] \quad (1-45) \end{aligned}$$

تغییرات R'_C برحسب ωl در دیاگرام (1-2) برای مقادیر $1 > \frac{\theta_i}{\theta_j} > -1$ رسم شده است .

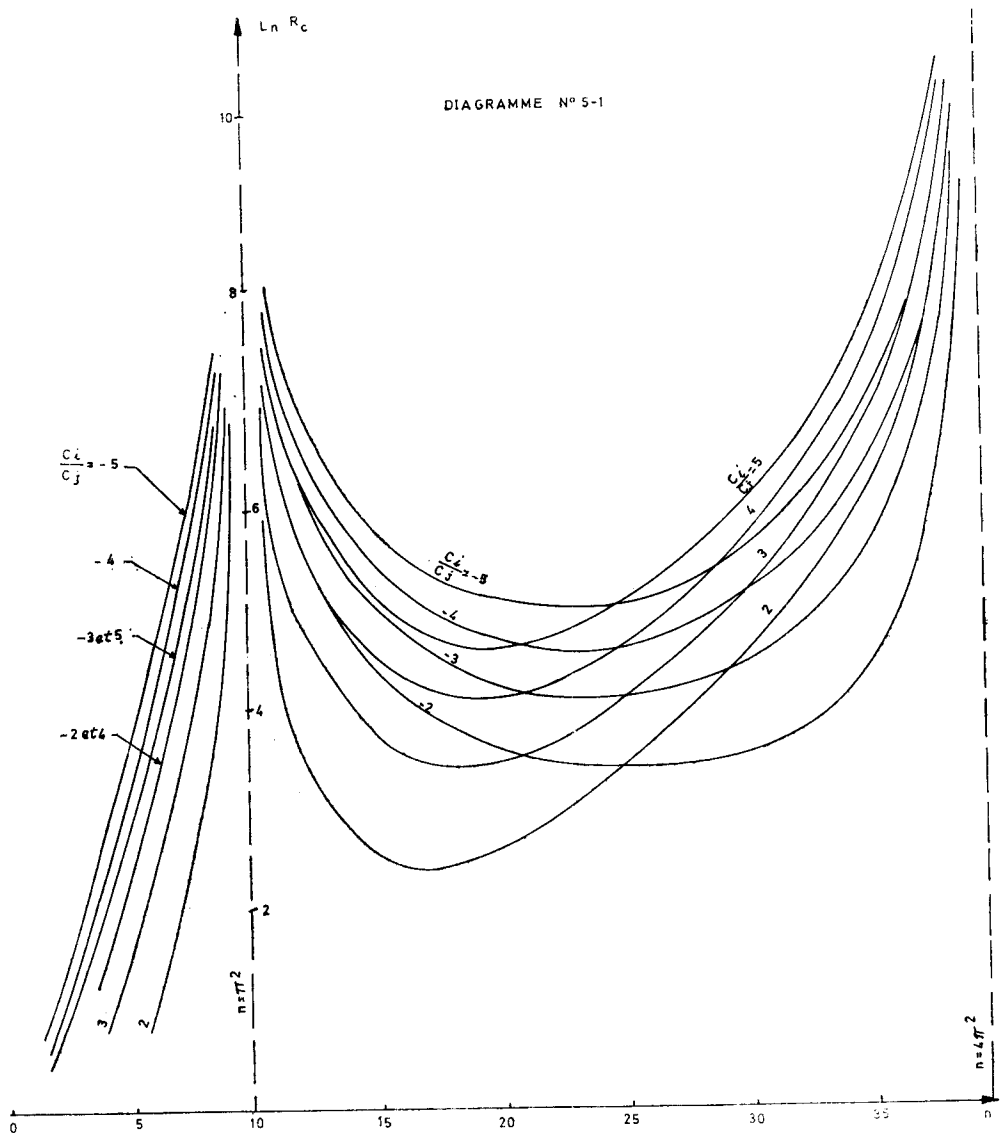
۲-۵: نیروی محوری N کششی است

با محاسباتی مشابه حالت فشاری، برای کشش چنین حاصل میشود:

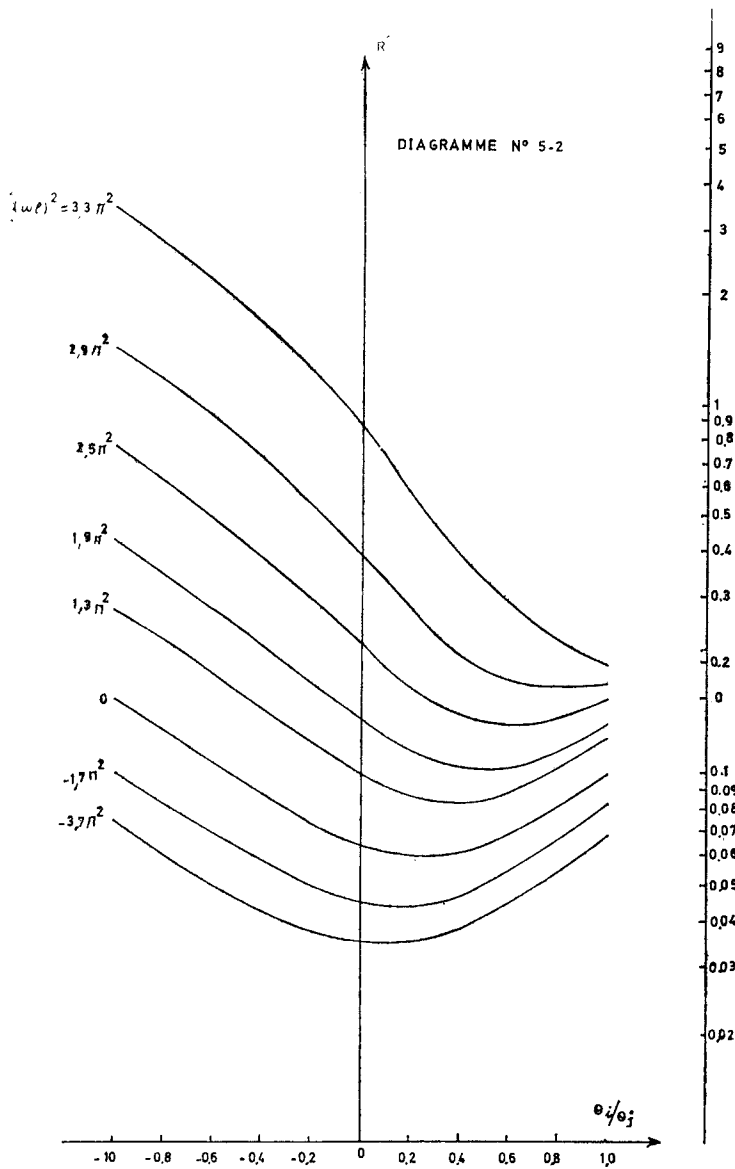
$$\frac{\Delta l_f}{l} = \frac{C_j^r}{k^r} R_t \quad (1-46)$$

$$\frac{\Delta l_f}{l} = \theta_j^r R'_t \quad (1-47)$$

که در آن R_t و R'_t نظیر روابط (۱-۴۲) و (۱-۴۵) میباشد، فقط با در نظر گرفتن اینکه:



$$\begin{cases} P_t = \frac{1}{\xi} \left[\left(\frac{\omega l}{\text{sh } \omega l} \right)^r - \nu + \frac{\omega l^{\nu r}}{\text{th } \omega l} \right] \\ Q_t = \frac{1}{\nu} \left[\frac{\omega l}{\text{sh } \omega l} \cdot \frac{\omega l}{\text{th } \omega l} - \nu + \frac{\omega l}{\text{sh } \omega l} \right] \end{cases} \quad (1-48)$$



۵-۳: نیروی محوری صفر گردد

اگر ωl بسمت صفر میل کند، معادلات (۱-۴۰) و (۱-۴۸) چنین میشوند:

$$\left. \begin{aligned} \frac{P_c}{n^r} = \frac{P_t}{n^r} = \frac{1}{9.0} \\ \frac{Q_c}{n^r} = \frac{Q_i}{n^r} = -\frac{\nu}{36.0} \end{aligned} \right\} \quad (1-49)$$

در نتیجه :

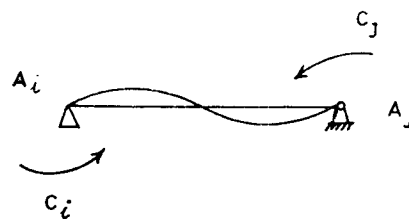
$$\frac{\Delta I_f}{I} = \frac{C_j^2}{k^2} \cdot \frac{1}{\nu} \left[\left(\frac{C_i}{C_j} \right)^2 + 1 - \frac{\nu}{\epsilon} \frac{C_i}{C_j} \right] \quad (1-50)$$

رابطه (۱-۴۹) شکل رابطه (۱-۴۱) را تأیید می‌کند. این نتیجه را میتوان مستقیماً با قرار دادن $\frac{dy}{dx}$ در معادله (۱-۳۰) و با استفاده از رابطه :

$$\frac{d^2 y}{dx^2} = \frac{-M}{EI}$$

بدست آورد. با داشتن :

$$M = C_i \left(1 - \frac{x}{l} \right) - C_j \frac{x}{l}$$



$$\frac{dy}{dx} = \frac{1}{EI} \left[-C_i x + C_i \frac{x^2}{2l} + C_j \frac{x^2}{2l} + a \right]$$

$$y = \frac{1}{EI} \left[-C_i \frac{x^2}{2} + C_i \frac{x^3}{6l} + C_j \frac{x^3}{6l} + ax + b \right]$$

و a و b از شرایط $y(0) = y(l) = 0$ بدست می‌آیند.

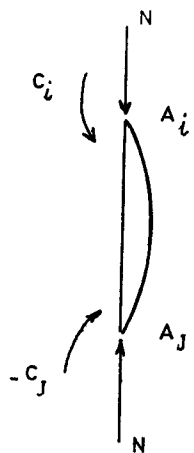
$$a = \frac{C_i l}{2} - \frac{C_j l}{6} \quad b = 0$$

پس از محاسبات لازم همان معادله (۱-۵۰) حاصل میشود.

۴-۵ : مطالعه و بحث ضریب R_c

رابطه (۱-۴۲) نشان میدهد که R_c تابعی است از $\frac{C_i}{C_j}$ و ωl و ما حالات زیر را بررسی

میکنیم :



(شکل ۵)

$$\frac{C_i}{C_j} = -1 \quad (\text{الف})$$

در این حالت رابطه (۱-۴۲) بصورت زیر خلاصه میگردد:

$$P_c = \frac{1}{n^2} (2P_c - Q_c) \quad (1-51)$$

یا:

$$R_c = \frac{\omega l (\omega l - \sin \omega l)}{n^2 \cos^2 \frac{\omega l}{2}} \quad (1-51)$$

بازاء $\cos^2 \frac{\omega l}{2} = 0$ مقدار R_c بینهایت میشود یعنی بازای:

$$\omega l = (2k+1)\pi \quad (1-52)$$

$$(k=0, 1, \dots)$$

این معادله مقدار ωl که بازاء آن کمانه رخ میدهد تعیین میکنند. کوچکترین مقدار ωl حاصل از معادله (۱-۵۲) مربوط به $k=0$ میباشد؛ در این حالت:

$$\omega l = \sqrt{n} = \sqrt{\frac{Nl^2}{EI}} = \pi$$

و از آنجا:

$$N_{cr} = \left(\frac{\pi}{l}\right)^2 EI$$

که همان بار بحرانی اولر است.

$$\frac{C_i}{C_j} = 1 \quad (\text{ب})$$

فرمول (۱-۴۲) بصورت زیر درمیآید:

$$R_c = \frac{1}{2n^2} \left[\frac{\omega l (1 + \cos \omega l) (\omega l + \sin \omega l) - 2 \sin^2 \omega l}{\sin^2 \omega l} \right] \quad (1-55)$$

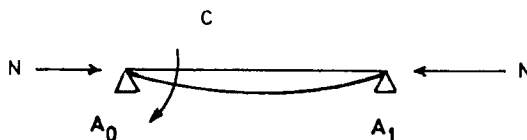
R_c بازاء مقادیر زیر بینهایت میگردد:

$$\frac{\sin \omega l}{2} = 0 \quad \omega l = 2k\pi = \sqrt{n}$$

که در آن $k=1, 2, 3, \dots$ بوده در نتیجه کوچکترین بار بحرانی بازاء $k=1$ برابر است با:

$$N_{cr} = \xi \left(\frac{\pi}{l} \right)^2 EI \quad (1-10)$$

نیروی برشی در مقدار بار بحرانی کمانه تأثیر زیادی دارد بار بحرانی برای تیر A_0, A_1 که تحت تأثیر لنگر خمشی C در A_0 قرار گرفته بصورت زیر تعیین میگردد.



روابط لنگر برای گره A_0 و A_1 چنین است:

$$\begin{aligned} M_{0,1} = C = A\theta_0 + B\theta_1 \\ M_{1,0} = 0 = A\theta_1 + B\theta_0 \end{aligned} \quad \left| \begin{array}{c} C \\ 0 \end{array} \right| = \left| \begin{array}{cc} A & B \\ B & A \end{array} \right| \left| \begin{array}{c} \theta_0 \\ \theta_1 \end{array} \right|$$

θ_0 و θ_1 دارای مقدار حقیقی خواهند بود، اگر دترمینان ماتریس سختی k مخالف صفر باشد:

$$\det k = \det \begin{vmatrix} A & B \\ B & A \end{vmatrix} \neq 0$$

ولی اگر $\det k = 0$ باشد کمانه رخ میدهد یعنی:

$$\det k = A^2 - B^2 = 0$$

با قرار دادن مقادیر A و B از معادله (1-10) و (1-11) چنین حاصل میشود:

$$A^2 - B^2 = - \frac{N^2}{\omega^2} \frac{\omega l \sin \omega l}{\omega l \sin \omega l - 2(1+n\lambda)(1-\cos \omega l)}$$

عبارت فوق بازاء مقادیر زیر صفر میگردد:

$$\omega l = (2k+1)\pi \quad (k=0, 1, \dots)$$

کمترین بار بحرانی کمانش برابر است با:

$$\omega l = \sqrt{\frac{n}{1+n\lambda}} = \pi$$

و یا:

$$n = \frac{Nl^2}{EI} \frac{\pi}{1+\lambda\pi^2}$$

از آنجا :

$$N_{cr} = \left(\frac{\pi}{l} \right)^2 \frac{EI}{1 + \lambda \pi^2}$$

اگر از اثر نیروی برشی صرف نظر گردد ($\lambda=0$) ، همان بار بحرانی اولر حاصل میشود یعنی :

$$N_{cr} = \left(\frac{\pi}{l} \right)^2 EI$$

۶ : تفسیر فرمول (۱-۴۳)

در دستگاههای متعادل بشکل قاب تغییر طول میله ها نسبت به بار وارد تابع خطی هستند ، درحالیکه اثر لنگر مؤثر از طرف گره ها به میله ها ، تغییر طول میله ها را برحسب یک تابع درجه دوم اضافه مینماید. این تغییر طول در بعضی حالات اهمیت زیادی دارند .

۶-۱ : محاسبه سطح مقطع ظاهری

سطح مقطع واقعی میله A_j از یک دستگاه متعادل ، با S و سطح مقطع ظاهری آن با S' نشان داده شده که بطریق زیر محاسبه میگردد .

$$\Delta l = \Delta l_n + \Delta l_f = \frac{Nl}{ES'}$$

با جایگزین نمودن Δl_f از فرمول (۱-۴۳) و $\Delta l_n = \frac{Nl}{ES}$ چنین حاصل میشود :

الف) در حالت فشار :

$$\frac{S}{S'} = 1 + \frac{C_{rj}^r}{nk^r} \left(\frac{l}{r} \right)^2 R_c \quad (1-57)$$

که در آن $r^2 = \frac{I}{S}$ است . اگر از فرمول (۱-۴۴) استفاده گردد ، داریم :

$$\frac{S}{S'} = 1 + \frac{\theta_{rj}^r}{n} \left(\frac{l}{r} \right)^2 R'_c \quad (1-58)$$

ب) در حالت کشش :

$$\frac{S}{S'} = 1 - \frac{C_{rj}^r}{nk^r} \left(\frac{l}{r} \right)^2 R_t \quad (1-59)$$

$$\frac{S}{S'} = 1 - \frac{\theta_{rj}^r}{n} \left(\frac{l}{r} \right)^2 R'_t \quad (1-60)$$

ملاحظه می‌گردد، S' را درمیله‌ها فقط از روش خطا و آزمون سینوان محاسبه نمود. در مثال زیر تغییرات نیروی N بر حسب بار وارد P نشان داده شده است. (دیاگرام ۳-۵)

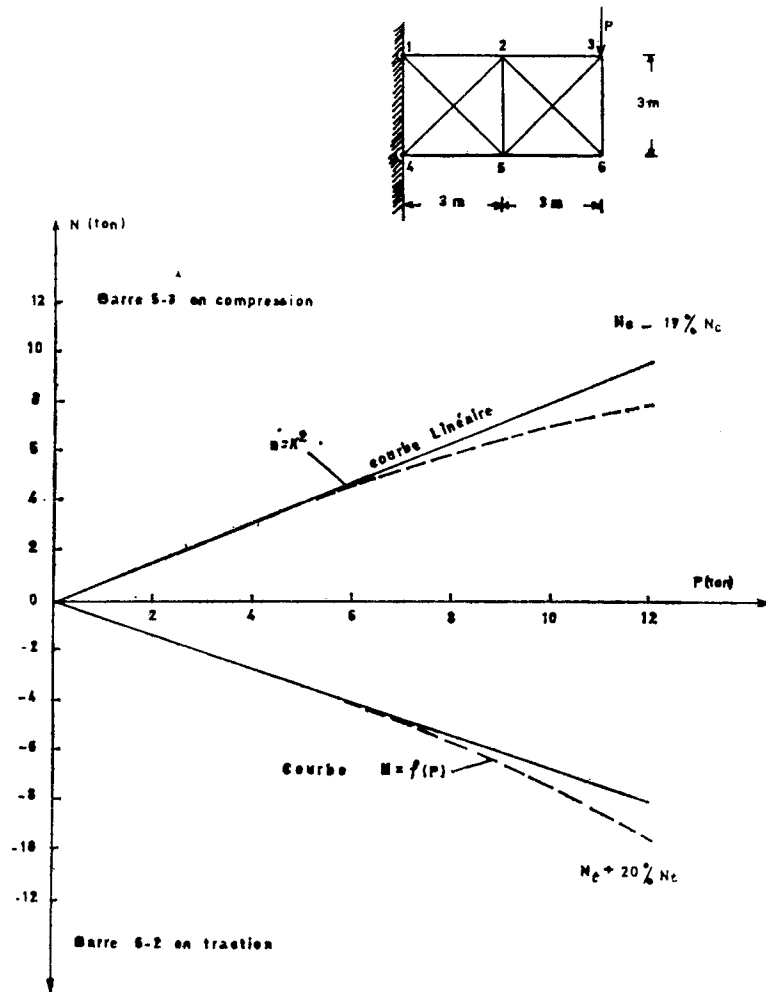
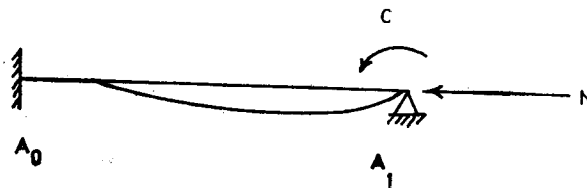


DIAGRAMME N° 5-3

۲-۶: حد مورد قبول قضیه تقابل ماکسول

تیر منشوری $A_0 A_1$ در A_0 گیردار و در A_1 بر روی تکیه‌گاه ساده قرار گرفته است؛ دو حالت بارگذاری زیر را در نظر می‌گیریم:



حالت اول : در A_1 فقط لنکر C مؤثر است ؛ تغییر شکل این گره عبارت از یک دوزان :

$$\theta_1 = \frac{C}{A}$$

و یک تغییر مکان Δl_f طبق فرمول (۱-۴۱) میباشد که در آن :

$$\left(A = \frac{EI}{l} \right)$$

برای تیر منشوری است .

حالت دوم : در A_1 فقط نیروی محوری N مؤثر است ؛ تغییر شکل این گره عبارت از :

$$\Delta l_n = \frac{Nl}{ES}$$

است . اگر قضیه تقابل ماکسول را برای دو حالت بارگزاری فوق بپوشتم چنین داریم :

$$N \times \Delta l_f = C \times \theta = 0$$

طرفین معادله برابر نینهند ، پس میتوان گفت ؛ اگر جمله های درجه دوم را در نظر بگیریم ، قضیه ماکسول صادق نمیشد . اگر در A_1 لنکر C و نیروی محوری N باهم وارد آیند ، از روابط (۱-۸) و (۱-۳۴) و (۱-۴۲) چنین حاصل میشود :

$$\left. \begin{aligned} \theta &= \frac{C}{A} \\ \Delta = \Delta l &= \frac{C^2 l}{k^2} \cdot R_c + \frac{Nl}{ES} \end{aligned} \right\} \quad (1-61)$$

انرژی اضافی میله $A_0 A_1$ برابر است با :

$$du = \theta \cdot dC + \Delta \cdot dN \quad (1-62)$$

حال نشان میدهم که مقدار du مستقل از ترتیب بارگزاری است . یا بعبارت دیگر du باید یک دیفرانسیل کامل باشد ، یعنی باید داشته باشیم :

$$\frac{\partial \theta}{\partial N} = \frac{\partial \Delta}{\partial C}$$

از معادله (۱-۶۱) میتوان نوشت :

$$\frac{\partial}{\partial N} \left(\frac{1}{A} \right) = \frac{1}{k^2} \cdot R_c = \frac{2l}{n^2 k^2} [(t^2 + 1)P_c + Q_c t] \quad (1-63)$$

که در آن $t = \frac{C_1}{C_0}$ است. با قرار دادن $\frac{1}{A}$ و t از روابط (۱-۱۰) و (۱-۱۲) برای $\lambda=0$ و ضریب Q_c و P_c از رابطه (۱-۴۰) ملاحظه میگردد، که معادله (۱-۶۳) برقرار خواهد بود، و چون:

$$\frac{\partial}{\partial N} \left(\frac{1}{A} \right) = \frac{\omega l}{r N^2 l} \cdot \frac{1}{(\omega l \cos \omega l - \sin \omega l)^2} [(\omega l)^2 - (\omega l)^2 \sin \omega l (r + \cos \omega l) + 2 \omega l (\cos \omega l - \cos r \omega l) - 2 \sin \omega l (1 - \cos \omega l)] \quad (1-64)$$

برای حالتیکه نیروی محوری کششی است:

$$\frac{\partial}{\partial N} \left(\frac{1}{A} \right) = \frac{r l}{k^2} R_t = \frac{r l}{n^2 k^2} [(t^r + 1) P_t + t Q_t] \quad (1-65)$$

یا:

$$\frac{\partial}{\partial N} \left(\frac{1}{A} \right) = \frac{\omega l}{r N^2 l} \cdot \frac{1}{(\omega l \operatorname{ch} \omega l - \operatorname{sh} \omega l)^2} [(\omega l)^2 - (\omega l)^2 \operatorname{sh} \omega l (r + \operatorname{ch} \omega l) + 2 \omega l (\operatorname{ch} r \omega l - \operatorname{ch} \omega l) + 2 \operatorname{sh} \omega l (\operatorname{ch} \omega l - 1)] \quad (1-66)$$

در [۴] قضیه ماکسول بطور کلی مورد بررسی قرار گرفت که اهم آن بشرح زیر است:

هرگاه در ساختمانی نیروها فقط در گره‌ها وارد آیند، روابط عمومی بشکل ماتریس زیر میباشند.

$$S = KD$$

که در آن:

- S: ماتریس ستونی، معرف بار وارد S_i بر هر گره میباشد.
 - D: ماتریس ستونی، معرف تغییر شکل D_i گره‌ها میباشد.
 - K: ماتریس مربعی، که بماتریس سختی ساختمان معروف است.
- عبارت فوق بصورت زیر نیز نوشته میشود:

$$D = K^{-1} \cdot S = G \cdot S$$

G: ماتریس نرمی ساختمان نامیده میشود.

برای آنکه تحمل ساختمان، مستقل از تیب بارگزاری باشد، روابط عمومی، باید بصورت زیر

باشد:

$$\sum_j \frac{\partial g_{ij}}{\partial S_k} S_j + g_{ik} = \sum_j \frac{\partial g_{kj}}{\partial S_i} S_j + g_{ki} \quad (1-67)$$

عبارت فوق برای حالت اختصاصی قضیه ما کسول پذیرفته میشود ، حالتی که تمام جمله های g_{ij} در یک ساختمان مستقل از بار خارج میباشند ، و داریم :

$$g_{ik} = g_{ki}$$

یعنی ماتریس G و K قرینه میباشند .

در مثال اخیر برای تیر A_1 و A_2 از رابطه (۱-۶۱) ماتریس G بصورت زیر نوشته میشود :

$$G = \begin{vmatrix} \frac{1}{A} & 0 \\ \frac{cl}{K^r} R_c & \frac{1}{ES} \end{vmatrix}$$